

XXI Конференция
«Сильно коррелированные электронные
системы и квантовые критические явления»

ФИАН, г. Москва
23 мая 2024 г.

СБОРНИК ТЕЗИСОВ



Москва ♦ Ижевск
2024

Влияние немагнитного разбавления на магнитную фазовую диаграмму антиферромагнетика на треугольной решётке $\text{Rb}_{1-x}\text{K}_x\text{Fe}(\text{MoO}_4)_2$

И. А. Крастилевский^{1,2}, В.Н. Глазков^{1,2}

¹ИФП им. П. Л. Капицы РАН, г. Москва, Россия

²НИУ ВШЭ, г. Москва, Россия

Соединение $\text{RbFe}(\text{MoO}_4)_2$ является примером антиферромагнетика на треугольной решётке. Структура его магнитных фаз хорошо известна [1, 2], в магнитном поле, близком к $1/3$ поля насыщения наблюдается фаза «плато намагниченности» с $M = M_{sat}/3$. В этой фазе реализуется коллинеарный порядок типа « UUU », стабилизируемый тепловыми и квантовыми флуктуациями. Вносимый примесями беспорядок, наоборот, стабилизирует неколлинеарные состояния [3]. Поэтому можно ожидать, что при некоторых концентрациях примесей фаза « UUU » будет подавлена при низких температурах, но будет восстанавливаться при нагреве [3, 4].

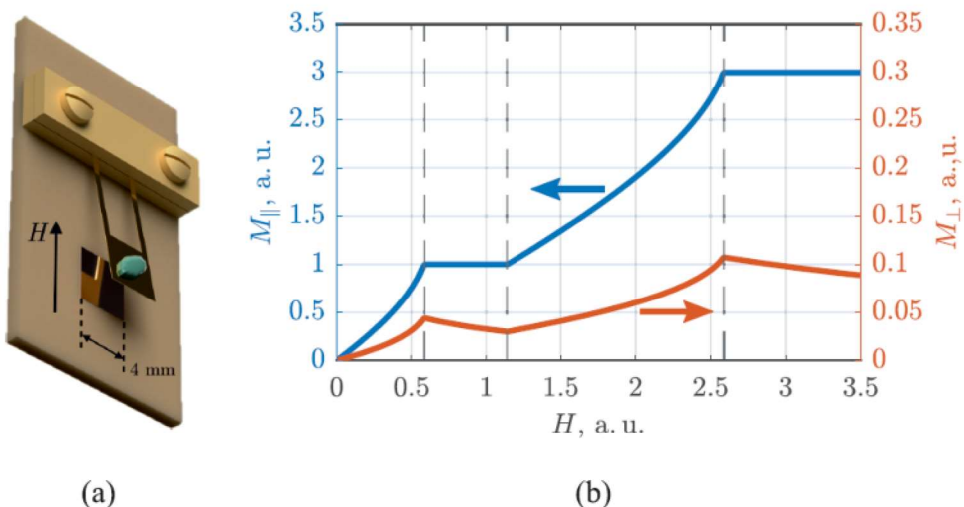


Рис. 1. (а) Схематическое изображение ёмкостного магнитометра поперечной намагниченности. (б) Кривые продольной и поперечной намагниченности АФМ на треугольной решётке, полученные с помощью численной симуляции ($\varphi = 5^\circ$, $J = 1$, $D = 0.3$, $a = 0.07$)

Для исследования магнитной фазовой диаграммы соединения $\text{Rb}_{1-x}\text{K}_x\text{Fe}(\text{MoO}_4)_2$ при $T = 0.4\ldots 5$ К и $B = 0\ldots 10$ Тл использовались измерения поперечной намагниченности (M_{\perp}), использовались образцы из работы [4]. Образец, на который в магнитном поле действовал момент сил ($\vec{\tau} = \vec{M}_{\perp} \times \vec{H}$), прикреплялся к упругому лепестку (рис. 1,а), отклонение которого от положения равновесия детектировалось посредством измерения электрической ёмкости.

Для моделирования величины M_{\perp} рассмотрена трёхподрешётчная модель на треугольной решётке с энергией вида

$$E = \frac{J}{2} (\vec{S}_1 \vec{S}_2 + \vec{S}_2 \vec{S}_3 + \vec{S}_3 \vec{S}_1) - \vec{M} \vec{H} + DS_z^2 - \alpha \left((\vec{S}_1 \vec{S}_2)^2 + (\vec{S}_2 \vec{S}_3)^2 + (\vec{S}_3 \vec{S}_1)^2 \right),$$

где последнее слагаемое учитывает эффект флуктуаций [3]. Моделирование (рис. 1,б) показало, что M_{\perp} возникает при небольшом отклонении направления магнитного поля от лёгкой плоскости (φ), и что границам фазы «плато намагниченности» соответствуют характерные изломы кривой $M_{\perp}(H)$.

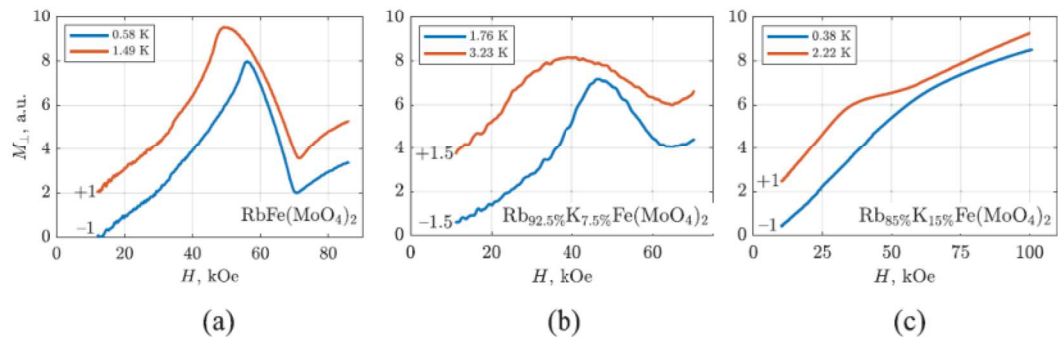


Рис. 2. Кривые отклика магнитометра поперечной намагниченности (сигнал пропорционален M_{\perp}) для образцов с $x = 0, 7.5 \%, 15 \%$. Кривые сдвинуты для наглядности как указано на рисунке

Обнаружены характерные изменения отклика магнитометра при переходе в «UUD» фазу (рис. 2). В чистом ($x = 0$) соединении чёткие изломы кривой отклика наблюдаются вплоть до самой низкой температуры 400 мК. Положения изломов хорошо согласуются с известными границами магнитных фаз [1, 2]. В образцах с примесью наблюдаются анало-

гичные особенности, но фазовые переходы оказываются несколько размыты (рис. 2, б, с). В образце с $x = 7.5\%$ область существования фазы «плато намагниченности» сжимается, что согласуется с результатами работы [4]. В образце с $x = 15\%$ кривая отклика демонстрирует два излома при температурах 2...3 К, указывая на сохранение «UUD» фазы. Однако ниже примерно 1.5 К на кривой отклика остаётся единственный излом, что соответствует исчезновению фазы «плато намагниченности». Таким образом удаётся проследить изменение фазовой диаграммы при введении примеси и подтвердить предсказание теории [3].

Работа была поддержана грантом РНФ 22-12-00259 (эксперимент) и грантом Научного фонда НИУ ВШЭ 24-00-011 (обработка данных).

Список литературы

- [1] White J. S. et al. *Phys. Rev. B* 88 (2013), 060409.
- [2] Smirnov A. I. et al. *Phys. Rev. B* 75 (2007), 134412.
- [3] Maryasin V. and Zhitomirsky M. E. *Phys. Rev. Lett.* 111 (2013), 247201.
- [4] Smirnov A. I. et al. *Phys. Rev. Lett.* 119 (2017), 047204.

Конкуренция орбитальных, зарядовых, спиновых и решеточных степеней свободы в ян-теллеровских магнетиках RNiO_3

А. С. Москвин^{1,2,*}

¹Уральский федеральный университет, г. Екатеринбург, Россия

²Институт физики металлов УрО РАН, г. Екатеринбург, Россия

*E-mail: alexander.moskvin@urfu.ru

К ян-теллеровским (ЯТ) магнетикам относятся соединения на основе ян-теллеровских 3d- и 4d-ионов с конфигурациями типа $t_{2g}^{n_1}e_g^{n_2}$ в высокосимметричном октаэдрическом, кубическом или тетраэдрическом окружении и с основным орбитальным E -дублетом [1, 2, 3]. Это соединения на основе тетра-комплексов с конфигурацией d^1 (Ti^{3+} ,